

ภาคผนวก ก

ตารางที่ 1 ผลการทดลอง

อุณหภูมิ HEATER (°C)	อุณหภูมิส่วนควบแน่น (°C)	เวลา (นาที)	อัตราการถ่ายเทความร้อนเฉลี่ย (W)
40	29.8	1	4.9
	30.0	2	4.9
	30.2	3	14.6
	30.8	4	7.3
	31.0	5	4.9
	31.2	6	14.6
	31.8	7	4.9
	32.0	8	12.2
	32.5	9	7.3
	32.8	10	4.9
	33.0	11	12.2
	33.5	12	7.3
	33.8	13	4.9
	34.0	14	4.9
	34.2	15	7.8
อัตราการถ่ายเทความร้อนเฉลี่ยทั้งหมด			7.8

อุณหภูมิ HEATER (°C)	อุณหภูมิส่วนความร้อน (°C)	เวลา (นาที)	อัตราการถ่ายเทความร้อนเฉลี่ย (W)
50	33.5	1	9.8
	33.9	2	7.3
	34.2	3	14.6
	34.8	4	4.9
	35.0	5	12.2
	35.5	6	7.3
	35.8	7	4.9
	36.0	8	12.2
	36.5	9	7.3
	36.8	10	7.3
	37.1	11	9.8
	37.5	12	7.3
	37.8	13	4.9
	38.0	14	9.8
	38.4	15	8.5
อัตราการถ่ายเทความร้อนเฉลี่ยทั้งหมด			8.5

อุณหภูมิ HEATER (°C)	อุณหภูมิส่วนความแน่น (°C)	เวลา (นาที)	อัตราการถ่ายเทความร้อนเฉลี่ย (W)
60	36.8	1	9.8
	37.2	2	14.6
	37.8	3	7.3
	38.1	4	12.2
	38.6	5	9.8
	39.0	6	12.2
	39.5	7	9.8
	39.9	8	7.3
	40.2	9	9.8
	40.6	10	7.3
	40.9	11	4.9
	41.1	12	9.8
	41.5	13	7.3
	41.8	14	4.9
	42.0	15	9.1
อัตราการถ่ายเทความร้อนเฉลี่ยทั้งหมด			9.1

อุณหภูมิ HEATER (°C)	อุณหภูมิส่วนควบคุม (°C)	เวลา (นาที)	อัตราการถ่ายเทความร้อนเฉลี่ย (W)
70	42.5	1	12.2
	43.0	2	19.5
	43.8	3	9.8
	44.2	4	14.6
	44.8	5	9.8
	45.2	6	14.6
	45.8	7	7.3
	46.1	8	12.2
	46.6	9	9.8
	47.0	10	12.2
	47.5	11	9.8
	47.9	12	9.8
	48.3	13	12.2
	48.8	14	12.2
	49.0	15	11.8
อัตราการถ่ายเทความร้อนเฉลี่ยทั้งหมด			11.8

อุณหภูมิ HEATER (°C)	อุณหภูมิส่วนความร้อน (°C)	เวลา (นาที)	อัตราการถ่ายเทความร้อนเฉลี่ย (W)
80	48.0	1	12.2
	48.5	2	9.8
	48.9	3	9.8
	50.3	4	12.2
	50.8	5	9.8
	51.2	6	14.6
	51.8	7	9.8
	52.2	8	12.2
	52.7	9	9.8
	53.1	10	9.8
	53.5	11	9.8
	53.9	12	7.3
	54.2	13	9.8
	54.6	14	9.8
	55.0	15	10.5
อัตราการถ่ายเทความร้อนเฉลี่ยทั้งหมด			10.5

ภาคผนวก ฯ

**ตารางที่ 1 ความสัมพันธ์ระหว่างปริมาณความร้อนที่ถ่ายเทจากหินขัดข้าวขาวของเครื่องขัด
ข้าวขาวที่อุณหภูมิผิวหินขัดต่าง ๆ**

$h_{\text{ทางกํา}} (\text{W/m}^2\text{K})$	$A_{\text{ผิวนอก}} (\text{m}^2)$	$T_{\text{หิน}} (\text{^\circ C})$	$T_{\text{ทางกํา}} (\text{^\circ C})$	$Q_{\text{out1}} (\text{W})$
47.25	0.454	40	28	257.42
47.25	0.454	50	28	471.93
47.25	0.454	60	28	686.49
47.25	0.454	70	28	900.96
47.25	0.454	80	28	1115.48

**ตารางที่ 2 ความสัมพันธ์ระหว่างปริมาณความร้อนที่ถ่ายเทจากหินขัดข้าวขาวของเครื่องขัด
ข้าวขาวทางด้านล่างที่อุณหภูมิผิวหินขัดต่าง ๆ**

$A_{\text{หน้ากัด}} (\text{m}^2)$	$1/(1/k_{\text{ทางกัด}} A_{\text{หน้ากัด}} + 1/h_{\text{ทางกํา}} A_{\text{หน้ากัด}})$	$T_{\text{หิน}} (\text{^\circ C})$	$T_{\text{ทางกํา}} (\text{^\circ C})$	$Q_{\text{out2}} (\text{W})$
0.08	3.68	40	28	44.15
0.08	3.68	50	28	80.95
0.08	3.68	60	28	117.74
0.08	3.68	70	28	154.74
0.08	3.68	80	28	191.33

ตารางที่ 3 ความสัมพันธ์ระหว่างปริมาณความร้อนที่ถ่ายเทจากหินขัดข้าวขาวของเครื่องขัด
ข้าวขาวทางด้านบนที่อุณหภูมิผิวหินขัดต่าง ๆ

$A_{\text{ผืนหิน}} (\text{m}^2)$	$1/(l/k_{\text{เหล็กหิน}} A_{\text{ผืนหิน}} + 1/h_{\text{อากาศ}} A_{\text{ผืนหิน}})$	$T_{\text{หิน}} (\text{°C})$	$T_{\text{ผืนหิน}} (\text{°C})$	$Q_{\text{out3}} (\text{W})$
0.13	5.98	40	28	71.75
0.13	5.98	50	28	131.54
0.13	5.98	60	28	191.33
0.13	5.98	70	28	251.13
0.13	5.98	80	28	310.92

ตารางที่ 4 ความสัมพันธ์ระหว่างปริมาณความร้อนทั้งหมดที่เกิดขึ้นจากหินขัดข้าวขาวของ
เครื่องขัดข้าวขาวที่อุณหภูมิผิวหินขัดต่าง ๆ

$T_{\text{หิน}} (\text{°C})$	$Q_{\text{out1}} (\text{W})$	$Q_{\text{out2}} (\text{W})$	$Q_{\text{out3}} (\text{W})$	$Q_{\text{in}} (\text{W})$
40	257.42	44.15	71.75	373.32
50	471.93	80.95	131.54	684.42
60	686.488	117.74	191.33	995.52
70	900.963	154.74	251.13	1306.83
80	1115.478	191.33	310.92	1617.72

ตารางที่ 5 แสดงการประมาณอุณหภูมิของกินขัดข้าวขาวของเครื่องขัดข้าวขาวที่จะเกิดขึ้น จริงเมื่อทำการติดตั้งท่อเทอร์โน่ไซฟ่อนเข้าไปภายในกินขัดข้าวขาวของเครื่องขัดข้าวขาว

$T_{\text{กิน}} (\text{°C})$	$Q_{\text{out1}} (\text{W})$	$Q_{\text{out2}} (\text{W})$	$Q_{\text{out3}} (\text{W})$	$Q_{\text{in}} (\text{W})$	$T_{\text{กินใหม่}}$
40	257.42	44.15	71.75	373.32	39.75
50	471.93	80.95	131.54	684.42	49.72
60	686.49	117.74	191.33	995.52	59.69
70	900.96	154.74	251.13	1306.83	69.67
80	1115.48	191.33	310.92	1617.72	79.64

ตารางที่ 6 อุณหภูมิของกินขัดก่อนและหลังติดเทอร์โน่ไซฟ่อนจากการออกแบบ

อุณหภูมิก่อนติดเทอร์โน่ไซฟ่อน ($^{\circ}\text{C}$)	อุณหภูมิจากการออกแบบ ($^{\circ}\text{C}$)	อุณหภูมิจากการทดลอง ($^{\circ}\text{C}$)
40	38.88	39.75
50	48.88	49.72
60	58.87	59.69
70	68.88	69.67
80	78.87	79.64

ตารางที่ 7 อัตราการถ่ายเทความร้อนที่ได้จากการทดลองและการคำนวณ

อุณหภูมิก่อนติด เทอร์โน่ไซฟ่อน	อัตราการถ่ายเทความร้อน จากการทดลอง (W)	อัตราการถ่ายเทความร้อน จากการคำนวณ (W)
40	7.8	11.6
50	8.5	23.3
60	9.1	35
70	11.8	46.7
80	10.5	58.3

ภาคผนวก C

การแสดงการคำนวณหาค่าการพาความร้อน

กำหนดให้ อุณหภูมิผิวหินขัดขาว $T_s = 60^\circ\text{C}$
อุณหภูมิอากาศ $T_\infty = 28^\circ\text{C}$
ความเร็วของอากาศ $u_\infty = 8 \text{ m/s}$
ความยาวของหินขัดขาว $l = 38 \text{ cm}$

Solution

จากสมการ

$$\text{สัมประสิทธิ์การพาความร้อนโดยเฉลี่ย} \quad h^- = 0.664k/l(u_\infty l/V)^{1/2} P_r^{1/3}$$

$$\text{Nusselt number เฉลี่ย} \quad N_{ul}^- = h^- l/k = 0.664 R_e^{1/2} P_r^{1/3}$$

$$\text{Reynolds number} \quad Re_l = u_\infty l/V$$

$$\text{อุณหภูมิพื้น} \quad T_f = (T_s + T_\infty)/2 = 44^\circ\text{C}$$

จากคุณสมบัติทางฟิสิกส์ของอากาศที่ 44°C

$$k = 27.56 \times 10^{-3} \text{ W/mK}$$

$$V = 25.02 \times 10^{-6} \text{ m}^2/\text{s}$$

$$P_r = 0.705$$

$$Re_l = (8 \text{ m/s} \times 0.38 \text{ m}) / 25.02 \times 10^{-6} \text{ m}^2/\text{s}$$

$$= 1215102.8$$

$$h^- = (0.664 \times 0.705^{1/3} \times 1215102.8^{1/2} \times 27.56 \times 10^{-3} \text{ W/mK}) / 0.38 \text{ m}$$

$$= 47.25 \text{ W/m}^2\text{K} \#$$

ศิวอุย่างการคำนวณการอุ่นแบบชุดเทอร์ในไฟฟอน

โดยใช้โปรแกรม Mathcad

ข้อมูลที่ใช้ในการอุ่นแบบ

$$T_{so} := 60 \cdot C$$

$$l := 0.7 \cdot m$$

$$\lambda_x := 62.982 \cdot \frac{W}{m \cdot K}$$

$$T_{si} := 30 \cdot C$$

$$l_c := 0.3 \cdot m$$

$$T_{so} := 333 \cdot K$$

$$D_0 := 84 \cdot mm$$

$$l_e := 0.3 \cdot m$$

$$D_0 = 0.084 \cdot m$$

$$t := 3 \cdot mm$$

$$l_a := 0.1 \cdot m$$

$$T_{si} := 303 \cdot K$$

$$D := D_0 - 2 \cdot t$$

$$D = 0.078 \cdot m$$

$$l_{ef} := 0.35 \cdot m$$

$$A_{fin} := \pi \cdot \frac{\left(0.18 \cdot m\right)^2}{4} - \pi \cdot \frac{(D_0)^2}{4}$$

$$A_{fin} = 0.02 \cdot m^2$$

$$4 \cdot A_{fin} = 0.08 \cdot m^2$$

$$S_{eo} := \left[2 \cdot \pi \cdot \left(\frac{D_0}{2} \right) \cdot l_e \right] + 4 \cdot A_{fin}$$

$$S_{eo} = 0.159 \cdot m^2$$

$$S_{co} := \left[2 \cdot \pi \cdot \left(\frac{D_0}{2} \right) \cdot l_e \right] + 4 \cdot A_{fin}$$

$$S_{co} = 0.159 \cdot m^2$$

$$h_{eo} := 15 \cdot \frac{W}{m^2 \cdot K}$$

$$h_{co} := 15 \cdot \frac{W}{m^2 \cdot K}$$

1. Thermal resistance ของ air

$$z1 := \frac{1}{(h_{eo} \cdot S_{eo})}$$

$$z1 = 0.42 \frac{K}{W}$$

$$z9 := \frac{1}{(h_{co} \cdot S_{co})}$$

$$z9 = 0.42 \frac{K}{W}$$

2. Internal diameter

$$D = 0.078 \text{ m}$$

Liq fil

$$F := \frac{0.35 \cdot m}{0.3 \cdot m}$$

$$F = 1.167$$

$$z2 := \frac{\ln\left(\frac{D_0}{D}\right)}{2 \cdot \pi \cdot le \cdot \lambda x}$$

$$z2 = 6.242 \times 10^{-4} \frac{K}{W}$$

$$z8 := \frac{\ln\left(\frac{D_0}{D}\right)}{2 \cdot \pi \cdot lc \cdot \lambda x}$$

$$z8 = 6.242 \times 10^{-4} \frac{K}{W}$$

3. Total thermal resistance ແຕ່ໄນ້ຄົດ internal resistance

$$z := z1 + z2 + z8 + z9$$

$$z = 0.841 \frac{K}{W}$$

$$Tv := Tsi + \frac{(z8 + z9)}{z} \cdot (Tso - Tsi) \quad Tv = 318 \text{ K}$$

$$Tv = 318 \text{ K}$$

$$Pv := 1.4553 \cdot 10^6 \text{ Pa}$$

$$\sigma := 598 \cdot 10^6 \text{ Pa}$$

$$r := \frac{84}{2} \text{ mm}$$

$$P_a := 101325 \text{ Pa}$$

$$ra := \frac{(D_0 + D)}{4}$$

$$t2 := Pv \cdot \frac{r}{\sigma}$$

$$t1 := Pv \cdot \frac{ra}{\sigma}$$

$$r = 0.042 \text{ m}$$

$$t1 = 0.099 \text{ mm}$$

$$t2 = 0.102 \text{ mm}$$

$$ra = 0.041 \text{ m}$$

$$\sigma_1 := Pv \cdot \frac{r}{t}$$

$$\sigma_2 := Pv \cdot \frac{ra}{t}$$

$$\sigma_1 = 2.037 \times 10^7 \text{ Pa}$$

$$\sigma_2 = 1.965 \times 10^7 \text{ Pa}$$

4 จาก Ref 9. เมื่อที่ $T_v = 318 \text{ K}$

$$T_v = 318 \text{ K} \quad Pv = 1.455 \times 10^6 \text{ Pa} \quad \lambda_l := 68.5 \cdot 10^{-3} \frac{\text{W}}{\text{m}\cdot\text{K}} \quad L := 425.03 \cdot 10^3 \frac{\text{J}}{\text{kg}}$$

$$\text{Ref}_9 \quad \rho_l := 1082.9 \frac{\text{kg}}{\text{m}^3} \quad \rho_v := 73.909 \frac{\text{kg}}{\text{m}^3}$$

$$\mu_l := 149.9 \cdot 10^{-6} \frac{\text{N}\cdot\text{s}}{\text{m}^2} \quad \sigma := 4.52 \cdot 10^{-3} \frac{\text{N}}{\text{m}} \quad \Phi_2 := \left[\left[\frac{L \cdot (\lambda_l)^3 \cdot (\rho_l)^2}{\mu_l} \right] \right]^{0.2}$$

$$\Phi_2 = 1.017 \times 10^3 \frac{\text{kg}}{\left(\text{K}^{0.75} \cdot \text{s}^{2.5} \right)}$$

5 presser pool

$$\theta := 90^\circ$$

$$g = 9.807 \text{ m s}^{-2}$$

$$P_p := Pv + \rho_l \cdot g \cdot F \cdot l \cdot e \cdot \sin(\theta)$$

$$P_p = 1.459 \times 10^6 \text{ Pa}$$

$$T_s := T_v$$

$$T_v = 318 \text{ K}$$

$$a := \frac{T_v \cdot g}{L} \cdot \left(\frac{\rho_l}{\rho_v} - 1 \right)$$

$$a = 0.1 \text{ Km}^{-1}$$

$$T_p := T_v + a \cdot \ln F$$

$$T_p = 318.035 \text{ K}$$

$$\Delta Th := \frac{T_p - T_v}{2} \cdot F$$

$$\Delta Th = 0.02 \text{ K}$$

6 Effective overall temperature difference

$$\Delta T := (T_{so} - T_{si} - \Delta Th)$$

$$\Delta T = 29.98 \text{ K}$$

7 Rate of heat transfer

$$Q := \frac{\Delta T}{z}$$

$$Q = 35.65 \text{ W}$$

8 Thermal resistance of Evaporator film

$$z3f := \frac{\frac{1}{0.235 \cdot Q^3}}{\frac{4}{D^4} \cdot \frac{1}{g^3} \cdot \frac{4}{\ln(\Phi_2)^3}}$$

$$z3f = 3.535 \times 10^{-3} \frac{\text{K}}{\text{W}}$$

$$Re_f := \frac{4 \cdot Q}{L \cdot \mu_f \cdot \pi \cdot D}$$

$$Re_f = 9.134$$

9 Figure of merit for nucleate boiling

$$C_{pl} := 1.602 \cdot 10^3 \frac{J}{kg \cdot K} \quad P_a = 1.013 \times 10^5 Pa$$

$$\Phi_3 := \frac{(\rho_l)^{0.65} \cdot (\lambda l)^{0.3} \cdot (C_{pl})^{0.7}}{(\rho_v)^{0.25} \cdot (L)^{0.4} \cdot (\mu_l)^{0.1}} \cdot \left(\frac{P_v}{P_a} \right)^{0.23}$$

$$\Phi_3 = 62.589 \text{ kg}^0 \text{ m}^0 \text{s}^{-1} \text{ K}^{-1}$$

$$z3p := \frac{1}{\Phi_3 \cdot g^{0.2} \cdot Q^{0.4} \cdot (\pi \cdot D \cdot le)^{0.6}}$$

$$z3p = 0.012 \frac{K}{W}$$

10 ถ้า $z3p > z3f$ ให้ $z3 := (z3p \cdot F) + [z3f \cdot (1 - F)]$

$$z3p > z3f$$

$$z3 := (z3p \cdot F) + [z3f \cdot (1 - F)]$$

$$z3 = 0.013 \frac{K}{W}$$

11 Thermal resistance ของ film ของ condenser

$$z7 := \frac{\frac{1}{3} \cdot 0.335 \cdot Q}{\frac{4}{3} \cdot \frac{1}{3} \cdot \frac{4}{3} \cdot D \cdot g \cdot l_e \cdot (\Phi_2)^3}$$

$$z7 = 5.039 \times 10^{-3} \frac{K}{W}$$

12 หาค่า Z ใหม่

$$z_{\text{new}} := z3 + z7 + z$$

$$z_{\text{new}} = 0.859 \frac{K}{W}$$

$$Q_1 := \frac{\Delta T}{z_{\text{new}}}$$

$$Q_1 = 34.904 W$$

13 คำนวณ Step 8 - 12 ใหม่ โดยใช้ค่า Q ที่ใกล้เคียงกันมากที่สุด

RENEW

$$z3f := \frac{\frac{1}{3} \cdot 0.235 \cdot Q_1}{\frac{4}{3} \cdot \frac{1}{3} \cdot \frac{4}{3} \cdot D \cdot g \cdot l_e \cdot (\Phi_2)^3}$$

$$z3f = 3.51 \times 10^{-3} \frac{K}{W}$$

$$Re_f := \frac{4 \cdot Q_1}{L \cdot \mu_l \cdot \pi \cdot D}$$

$$Re_f = 8.943$$

9

$$C_{pl} := 1.589 \cdot 10^3 \frac{J}{kg \cdot K} \quad P_a = 1.013 \times 10^5 Pa$$

$$\Phi_3 := \frac{(\rho_l)^{0.65} \cdot (\lambda)^{0.3} \cdot (C_{pl})^{0.7}}{(\rho_v)^{0.25} \cdot (L)^{0.4} \cdot (\mu_l)^{0.1}} \left(\frac{P_v}{P_a} \right)^{0.23}$$

$$\Phi_3 = 62.233 \text{ kg m s}^{-1} \text{ K}^{0.23}$$

10

$$z3p := \frac{1}{\Phi_3 \cdot g \cdot (Q_l)^{0.4} \cdot (\pi \cdot D \cdot le)^{0.6}}$$

$$z3p = 0.012 \frac{K}{W}$$

$$z3p > z3f$$

$$z3 := (z3p \cdot F) + [z3f \cdot (1 - F)]$$

$$z3 = 0.013 \frac{K}{W}$$

11

$$z7 := \frac{\frac{1}{0.335 \cdot (Q_l)^3}}{\frac{4}{D} \cdot \frac{1}{g} \cdot \frac{4}{lc} \cdot \left(\Phi_2 \right)^3}$$

$$z7 = 5.004 \times 10^{-3} \frac{K}{W}$$

12

$$z_{\text{new}} := z3 + z7 + z$$

$$z_{\text{new}} = 0.859 \frac{\text{K}}{\text{W}}$$

$$Q_2 := \frac{\Delta T}{z_{\text{new}}}$$

$$Q_2 = 34.897 \text{ W}$$



ກົດໝາຍລັກ

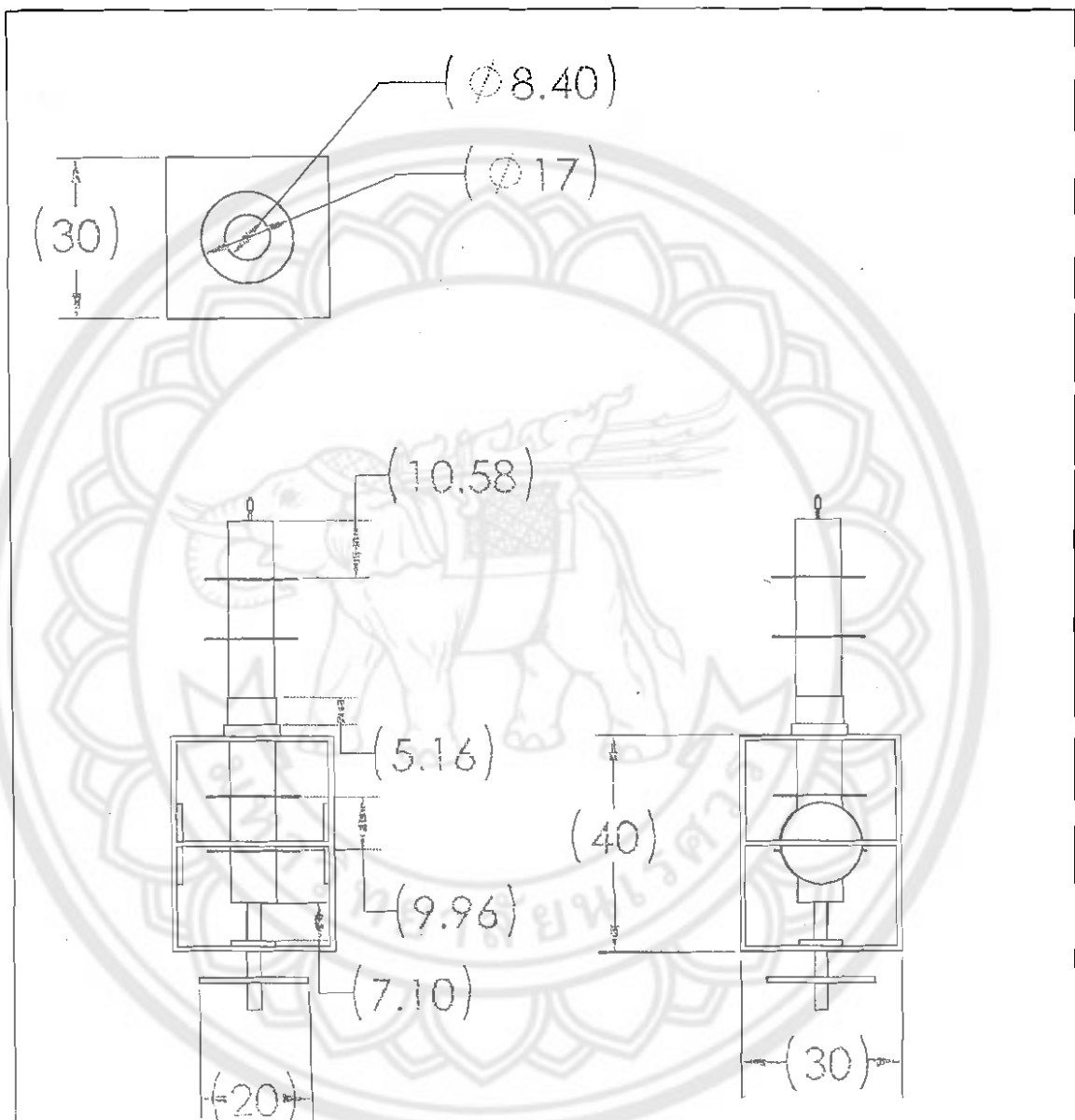
Refrigerant Properties

17.29

Refrigerant 134a (1,1,2-tetrafluoroethane) Properties of Saturated Liquid and Saturated Vapor

Temp, °C	Pressure, MPa	Density, kg/m ³		Enthalpy, kJ/kg		Entropy, kJ/kg·K		Specific Heat,Cp, kJ/kg·K		Velocity of Sound, m/s		Viscosity, μPa·s		Thermal Cond., mW/(m·K)		Surface Tension, mN/m		Temp, °C
		Liquid	Vapor	Liquid	Vapor	Liquid	Vapor	c _p /c _v	Liquid	Vapor	Liquid	Vapor	Liquid	Vapor	Liquid	Vapor		
-10.30	0.0009	159.2	35.263	71.89	335.07	0.4143	1.9618	1.147	0.585	1.163	1135.	127.	2186.6	6.63	—	—	28.15	-103.30
-10.00	0.0003	151.9	25.039	15.71	337.00	0.4366	1.9456	1.164	0.592	1.161	1111.	128.	1958.2	6.76	—	—	27.36	-100.00
-9.00	0.0015	153.9	9.7191	47.59	342.94	0.502	1.8975	1.201	0.614	1.133	1051.	131.	1445.6	7.16	—	—	25.81	-90.00
-8.00	0.0039	152.6	4.2504	99.65	349.03	0.574	1.8585	1.211	0.637	1.151	999.	134.	1169.9	7.57	—	—	24.11	-80.00
-7.00	0.0080	149.6	2.0528	111.78	355.23	0.6286	1.8169	1.215	0.660	1.148	951.	137.	879.6	7.97	125.8	—	22.44	-70.00
-6.00	0.0154	147.0	1.0770	123.96	361.51	0.6871	1.8016	1.220	0.683	1.146	904.	139.	715.4	8.38	121.1	—	20.81	-60.00
-5.00	0.0294	144.1	0.6056	136.12	367.83	0.7432	1.7812	1.229	0.712	1.146	858.	142.	594.3	8.79	116.5	7.12	19.22	-50.00
-4.00	0.0512	144.8	0.3693	148.57	374.16	0.7971	1.7649	1.243	0.740	1.148	812.	144.	502.2	9.20	111.9	8.19	17.66	-40.00
-3.00	0.0843	138.9	0.22396	161.10	380.4	0.8694	1.7319	1.260	0.771	1.152	765.	145.	450.4	9.62	107.3	9.16	16.13	-30.00
-2.00	0.0926	138.0	0.20682	163.62	381.70	0.8561	1.7497	1.264	0.778	1.153	756.	145.	418.0	9.71	106.3	9.25	15.83	-23.00
-1.00	0.1032	174.3	0.19016	165.07	382.90	0.8701	1.7476	1.268	0.784	1.154	747.	146.	406.4	9.79	105.4	9.32	15.34	-24.07
-0.00	0.10164	174.1	0.18561	165.16	382.94	0.8704	1.7476	1.268	0.785	1.154	747.	146.	406.0	9.79	105.4	9.33	15.33	-26.00
+2.00	0.11127	136.2	0.17410	161.70	384.19	0.8806	1.7453	1.273	0.791	1.155	738.	146.	394.6	9.88	104.5	9.71	15.20	-24.00
+2.00	0.12169	136.2	0.16102	171.00	385.43	0.8806	1.7453	1.277	0.798	1.156	728.	146.	393.6	9.96	103.6	9.89	14.93	-22.00
+2.00	0.13268	135.62	0.14744	173.82	386.66	0.9009	1.7413	1.282	0.805	1.157	719.	146.	373.1	10.05	102.6	10.07	14.63	-30.00
+3.00	0.14454	139.2	0.13397	126.39	387.89	0.9110	1.7399	1.286	0.812	1.159	710.	146.	353.0	10.14	101.7	10.24	14.33	-18.00
+4.00	0.15721	134.1	0.12556	178.97	389.11	0.9211	1.7383	1.291	0.820	1.160	700.	147.	333.3	10.22	100.8	10.42	14.04	-16.00
+4.00	0.17074	138.0	0.11610	181.56	391.33	0.9311	1.7367	1.296	0.827	1.162	691.	147.	344.0	10.31	99.9	10.59	13.74	-14.00
+5.00	0.18516	131.8	0.10749	184.16	391.55	0.9410	1.7351	1.301	0.835	1.164	682.	147.	335.0	10.40	99.0	10.76	13.45	-12.00
+6.00	0.20055	132.6	0.09963	186.78	392.75	0.9509	1.7337	1.306	0.842	1.166	672.	147.	326.3	10.49	98.0	10.93	13.16	-10.00
+7.00	0.21680	131.9	0.09246	189.40	393.95	0.9608	1.7312	1.312	0.850	1.168	663.	147.	318.0	10.58	97.1	11.10	12.87	-8.00
+8.00	0.23241	131.0	0.08591	192.03	395.15	0.9707	1.7310	1.317	0.858	1.170	554.	147.	309.9	10.67	96.2	11.28	12.53	-6.00
+9.00	0.24727	106.5	0.07991	194.58	396.33	0.9805	1.7297	1.323	0.866	1.172	544.	147.	302.2	10.76	95.5	11.45	12.29	-4.00
+10.00	0.27206	130.2	0.07440	197.33	397.51	0.9903	1.7285	1.329	0.873	1.175	535.	147.	294.7	10.85	94.3	11.62	12.00	-2.00
+10.00	0.29269	129.7	0.06915	200.00	398.68	1.0000	1.7274	1.333	0.883	1.178	526.	147.	287.8	10.94	93.4	11.79	11.71	0.00
+1.00	0.31450	127.1	0.06470	202.68	399.84	1.0057	1.7263	1.341	0.892	1.180	616.	147.	280.4	11.01	92.3	11.96	11.43	2.00
+4.00	0.33735	128.0	0.06062	205.37	401.00	1.0194	1.7252	1.347	0.901	1.183	607.	147.	275.6	11.13	91.6	12.13	11.14	4.00
+6.00	0.36184	127.0	0.05648	208.08	402.14	1.0281	1.7242	1.353	0.910	1.187	598.	147.	267.0	11.22	90.7	12.31	10.46	6.00
+8.00	0.38749	127.0	0.05234	210.50	403.27	1.0367	1.7233	1.360	0.920	1.190	588.	147.	250.5	11.32	89.7	12.48	10.59	8.00
+10.00	0.41449	126.0	0.04948	213.13	404.40	1.0483	1.7224	1.367	0.930	1.193	579.	146.	254.3	11.42	88.8	12.66	10.30	10.00
+12.00	0.44229	125.3	0.04636	216.27	405.51	1.0579	1.7215	1.374	0.939	1.197	569.	146.	248.3	11.52	87.9	12.84	10.02	12.00
+14.00	0.47226	124.6	0.04348	219.03	406.61	1.0654	1.7203	1.381	0.950	1.201	560.	146.	242.3	11.62	87.0	13.02	9.74	14.00
+16.00	0.50413	129.3	0.04061	221.89	407.70	1.0770	1.7199	1.388	0.960	1.206	550.	146.	236.8	11.72	86.0	13.20	9.47	16.00
+18.00	0.53706	122.1	0.03813	224.59	408.78	1.0855	1.7191	1.396	0.971	1.210	541.	146.	231.2	11.82	85.1	13.39	9.19	18.00
+20.00	0.57159	124.9	0.03609	227.40	409.84	1.0960	1.7183	1.404	0.981	1.215	532.	145.	225.8	11.92	84.2	13.57	8.92	20.00
+22.00	0.60777	121.5	0.03388	230.21	410.89	1.1055	1.7176	1.412	0.994	1.220	522.	145.	220.5	12.03	83.3	13.76	8.63	22.00
+24.00	0.64366	121.0	0.03189	233.05	411.93	1.1149	1.7161	1.420	1.006	1.226	512.	145.	215.4	12.14	82.4	13.96	8.38	24.00
+26.00	0.68350	120.2	0.03020	235.50	412.95	1.1244	1.7162	1.429	1.018	1.231	503.	145.	210.4	12.25	81.4	14.15	8.11	26.00
+28.00	0.72676	119.4	0.02929	238.27	413.95	1.1329	1.7155	1.438	1.031	1.238	493.	145.	205.5	12.36	80.3	14.35	7.84	28.00
+30.00	0.77008	118.7	0.02857	241.65	414.94	1.1402	1.7149	1.447	1.044	1.244	484.	145.	200.7	12.48	79.6	14.56	7.57	30.00
+32.00	0.81530	117.9	0.02816	249.35	420.44	1.1597	1.7131	1.457	1.057	1.251	474.	145.	196.0	12.60	78.7	14.76	7.31	32.00
+34.00	0.86250	117.1	0.02734	247.47	416.85	1.1621	1.7135	1.467	1.073	1.259	465.	145.	191.4	12.72	77.7	14.97	7.05	34.00
+36.00	0.91172	116.2	0.02741	250.41	417.78	1.1713	1.7129	1.478	1.083	1.267	455.	145.	186.9	12.84	76.8	15.19	6.78	36.00
+38.00	0.96301	114.9	0.02716	253.37	418.69	1.1809	1.7122	1.489	1.104	1.274	445.	145.	182.5	12.99	75.9	15.41	6.52	38.00
+40.00	1.0165	114.6	0.01999	256.35	419.58	1.1906	1.7113	1.500	1.120	1.285	436.	145.	178.2	13.10	75.0	15.64	6.27	40.00
+42.00	1.0711	117.9	0.01930	259.35	420.44	1.1997	1.7106	1.513	1.138	1.295	426.	145.	174.0	13.24	74.1	15.36	6.01	42.00
+44.00	1.1300	112.9	0.01786	262.38	421.28	1.2091	1.7101	1.525	1.154	1.306	416.	145.	169.5	13.38	73.1	16.10	5.76	44.00
+46.00	1.1901	113.3	0.01689	263.42	422.09	1.2185	1.7094	1.539	1.173	1.318	407.	145.	165.7	13.51	72.2	16.34	5.51	46.00
+48.00	1.25227	111.3	0.01598	268.49	422.18	1.2279	1.7086	1.553	1.196	1.337	397.	145.	161.7	13.67	71.3	16.39	5.26	48.00
+50.00	1.3177	110.2	0.01511	271.59	423.63	1.2357	1.7079	1.569	1.213	1.345	387.	145.	157.7	13.81	70.4	16.54	5.01	50.00
+52.00	1.3852	109.6	0.01430	274.71	424.35	1.2445	1.7070	1.583	1.241	1.362	377.	145.	153.8	13.99	69.5	17.10	4.76	52.00
+54.00	1.4535	108.2	0.01333	277.86	425.93	1.2562	1.7061	1.593	1.266									

ภาคผนวก ๑



NOTE : All dimensions are in centimetre

FACULTY OF ENGINEERING

NARESUAN UNIVERSITY

THERMOSYPHON

SCALE 1:10

DN BY ME.4

DRAWING

DATE 12/3/44

PROJECT

PLATE 1